

9. DAS 方式による NO_2 濃度の検出感度

竹内達夫 清水 浩 奥田典夫
国立公害研究所

1. はじめに 現在、大気汚染研究における最も緊急かつ重要な情報の1つは汚染物質の立体濃度分布が挙げられる。しかし NO_2 については公害源からの排出量から燃焼物に含まれる汚染物質の量から直接に求められないので、その統一排出量や分布などの情報は現在まで得られない。そこで、レーザーレードを用いた遠隔的な測定方法でこの立体分布をつかめれば、非常に有効なデータが得られる。

現在、レーザーレード方式による NO_2 の測定法として17種類が考案されており DAS(差分吸収散乱)方式は最も優秀といえる。ここで現在開発中のレーザーレードを適用する場合の検出感度について計算を行ない、良好な結果を得たので報告する。

2. 測定原理と測定誤差の理論的導出

DAS 方式は測定対象分子の吸收線と一致する波長(λ_L)と吸收線からはずれた波長(λ_W)の2本のレーザー光線を送り、各波長について大気中のエアロソル粒子による散乱光と距離分解して検出し、その強度差を求めることにより測定対象の濃度を知る方法である。DAS 方式は以下でレーザーレード方式で与えられる。

$$P_i = P_0 \cdot L \cdot K(\lambda_i) \beta_i(R) A_r Y(R) \exp \left\{ -2 \int_0^R (\sigma_{m_i} + N\sigma_i) dr \right\} / R^2 \quad (1)$$

ここで、 i は波長の種類を示し、 σ は減衰係数、 m はミシ散乱を示す。他の記号は一般に使用されるものと同じである。

(1)式より、測定対象の粒子濃度は次式で与えられる。

$$N(R) = \frac{1}{2\sigma_d L} \left[\ln \frac{P_L(R)}{P_L(R+L)} - \ln \frac{P_W(R)}{P_W(R+L)} + B + T \right] \quad (2)$$

$$\text{ここで } \sigma_d = \sigma_L - \sigma_W, \quad T = -2[\sigma_{m_L} - \sigma_{m_W}]L$$

$B = \ln \left\{ \beta_L(R+L) / \beta_L(R) \right\} - \ln \left\{ \beta_W(R+L) / \beta_W(R) \right\}$, L は距離分解能である。(2)式より $N(R)$ の誤差を決める要因には測定値

$P_i(R)$ の誤差の他に σ_d, T, B によるものがあるが存在するが、これらは一般に無視出来る。したがって $P_L(R) \ll P_W(R)$ とすると $N(R)$ の誤差は次のように書かれてある。

$$\left(\frac{\Delta N(R)}{N(R)} \right)^2 \approx \frac{1}{M} \frac{1}{4(\sigma_d N L)^2} \times \frac{\Delta P_L^2(R)}{P_L^2(R)} \quad (3)$$

ここで M はレーザーの発光強度を示す。 (3) 式より明らかのように、DAS 式ではランダムな誤差よりも測定強度の誤差が大きい場合の誤差が、このように求められるべき分子密度の誤差とはなりません。 $2\sigma_d N L$ だけ累乗する。これは測定値 $P_i(R)$ を求めるべき N の値が指數回数的に倍加されてくるためである。

$P_L(R)$ の測定精度がショット・ノイズ・制限における場合、 $\Delta P_L(R)/P_L(R)$ は $\sqrt{P_L(R)}$ に正比例する。 (3) 式は次式のように書き替えられる。

$$\left(\frac{\Delta N(R)}{N(R)} \right) = \frac{\exp\{(\sigma_m + N\sigma_L)R\}}{2\sigma_d N L^{1/2} (M E_0; K \beta A_r T_r)^{1/2}} \quad (4)$$

(4) 式から測定精度が最高となる条件が $N\sigma_L R \approx 1$ を求められるが、この条件から測定対象分子の密度や測定距離等により、減衰係数の最高値を与える波長を選択可能であることが示される。

3 NO_2 分子の測定における强度の計算

吸収スペクトルを持つが、吸収量が強い領域でのスペクトルは Fig. 1 に示す通りである。これらの吸収線を複数の測定强度を種々の条件について計算した。まず、使用するレーザーの特性は Table 1 のように決定する。この計算は算者らが理学開発中の算量に基づくものである。また、粗粒とミカロによる減衰係数 α_m の関係および、 σ_m と体積吸収係数 β の関係は次のように

NO_2 分子の可視領域全体に亘って

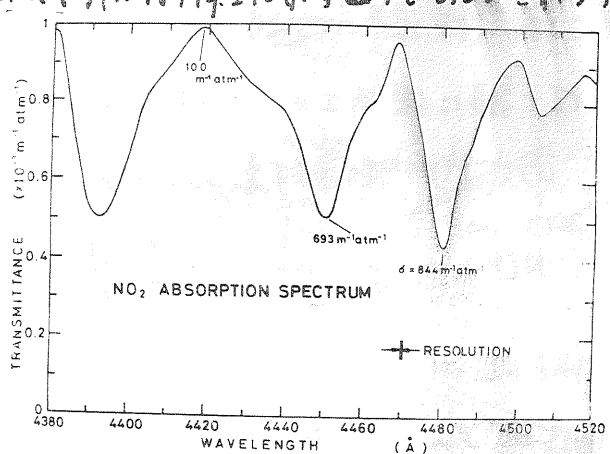


Fig. 1 NO_2 の吸収スペクトル

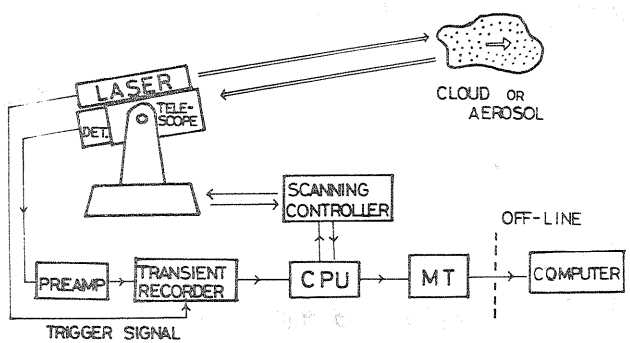
各対象物の位置の変化を求めてラクラニエ流の速度を求め、それから
ら拡散係数を計算する。

以上の操作によって平均速度、渦度、乱流成分、拡散係数が
求められる。

3 測定装置

測定装置のフローバー図を第2図に示す。レーザは Nd:YAG レーザで、繰返しは 50 pps、出力は 0.6 mJ / ピルス ($1.064 \mu\text{m}$) で、望遠鏡本体に取り付けられていく。装置は大型バスに搭載可能とするよう設計されており、各部分の仕様は第1表の通りである。

レーザ・レーダ・掃引開始後、CPU からの信号によりレーザはトリガされ、一定数のレーザ発射が終了後、レーザ・レーダの掃引は終了し、CPU からの信号によって、望遠鏡の角度は出发位置に戻される。レーザ・レーダ姿勢角度は、ポテンショメータの読み取り値がデジタル化され、各データ毎に MT の頭にラベル書き込まれる。
この装置を用いて、上空約 2km



第2図 風向・風速測定用レーザ・レーダのフローバー図

第1表 レーザ・レーダ・システムの諸元

レーザ (Nd:YAG レーザ)

波長	1.064	μm
出力	0.6	mJ / ピルス
繰返し	50	pps MAX.

望遠鏡

有効径	30	cm
型式	カタクレン式	

トランシジェンレコータ (岩田 DM 901)

ゲート幅	10	ns 最小
ゲート数	8	ビット

の雲を測定し、MTIに音を込めた平面掃引のデータを前節 ii)~ iv)
の処理を行ひ速度を求めた。

4 まとめ

上空の風向、風速の測定法として、エアロソルや雲からのミー散乱を
レーダー・レーダー・ハーフーンにして把えてその時間的変化から測定する方
法について述べた。 22では、まず最初に雲を扱い、2次元的には
水平面での運動を考へたが、20~30秒程度で1回空間的掃
引があれば、3次元でのデータを得ることも可能である。 また、
エアロソルを対象とすれば、地上付近でも容易に測定が可能で
ある。

すべての雲やエアロソルについて、各部分の特徴を把えて、風向、風
速を求める手法を完成したのが今後の課題である。